

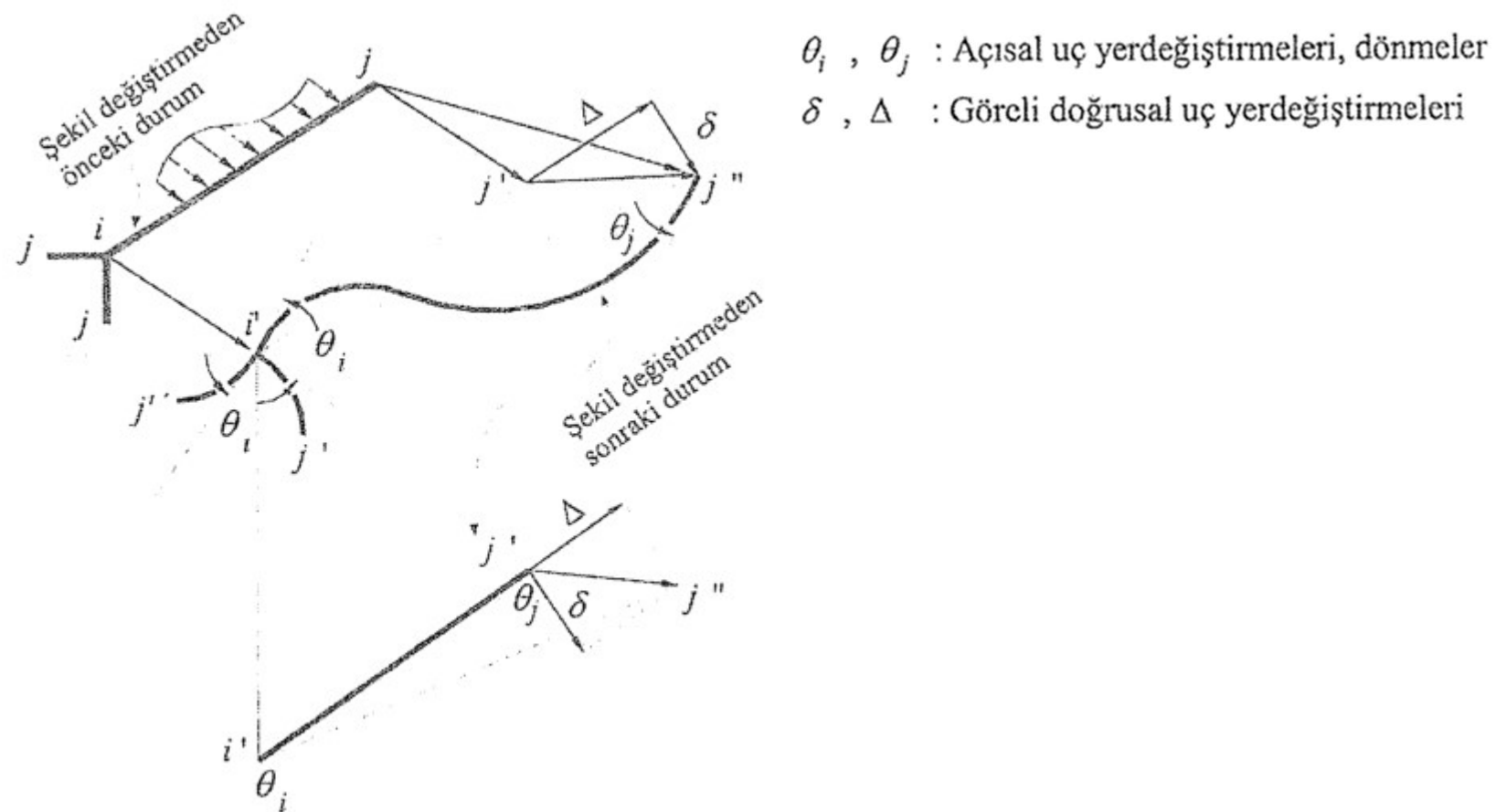
YAPI STATİĞİ II

KUVVET METODU

AÇI METODU

Hazırlayan: Yard.Doç.Dr.Kıvanç TAŞKIN

Düzlemi içinde yüklü düzlem çubuk bir sistemin herhangi bir $i - j$ çubuğuunun
şekildeğiştirmeden önceki ve sonraki konumları Şekil 6.97'de bir kez daha gözden
geçirilmektedir.



Kuvvet yöntemi ile hiperstatik bir sistem çözülürken *süreklik denklemleri* yazılmış, hiperstatik bilinmeyenler bulunmuş, *denge denklemleriyle* uç kuvvetlerine geçilmiş, yerdeğiştirme hesaplarında da *bünye denklemleri* kullanılmıştır. Dolayısı ile çözümün yerine getirmesi gereken tüm koşullar sağlanmıştır. Bu hesabın sonunda ulaşılmakta olan yerdeğiştirmeler arasında Şekil 6.97' deki $i - j$ çubuğunun θ_i , θ_j , δ ve Δ ile gösterilen görelî uç yerdeğiştirmelerinin de bulunduğu düşünülebilir. Yerdeğiştirme yönteminde hesap bu noktadan başlayıp geriye, uç kuvvetlerinin bulunmasına doğru sürdürülmektedir. Yani esas itibariyle çubuk uç yerdeğiştirmeleri *bilinmeyenler* olarak alınmakta, düğüm noktalarında birbirine bağlanan çubuklar için *düğüm noktası süreklilik koşulları*, çubukların bir araya gelerek oluşturdukları çerçevelerde de *çerçeve süreklilik denklemleri* kullanılarak *süreklik*, düğüm noktası veya sistem parçaları üzerinde yazılacak moment ve/veya izdüşüm denklemleriyle de *denge koşulları* sağlanmaktadır. Uç yerdeğiştirmeleri ile uç kuvvetleri arasındaki bağıntılar da temelde *bünye denklemlerine* dayanılarak kurulmaktadır. Bunlar, başlangıç niteliği taşıyan bu bölümde işlemelere katılmakta ve birim yerdeğiştirme sabitlerinin hesaplarında gözönüne alınmaktadır. Birinci mertebe teorisinin geçerli olduğu durumlarda; sistemin boyutlarına göre çok küçük olan ve dış yüklerden kaynaklanan Şekil 6.97' deki δ ve Δ uç yerdeğiştirmelerinin, bir anlamda şekildeğiştirmiş eksenin *denge* ve *süreklik denklemlerinde* göz önüne alınması çoğu kez gerekli değildir.

DÜĞÜM NOKTALARINDA SÜREKLİLİK KOŞULLARI

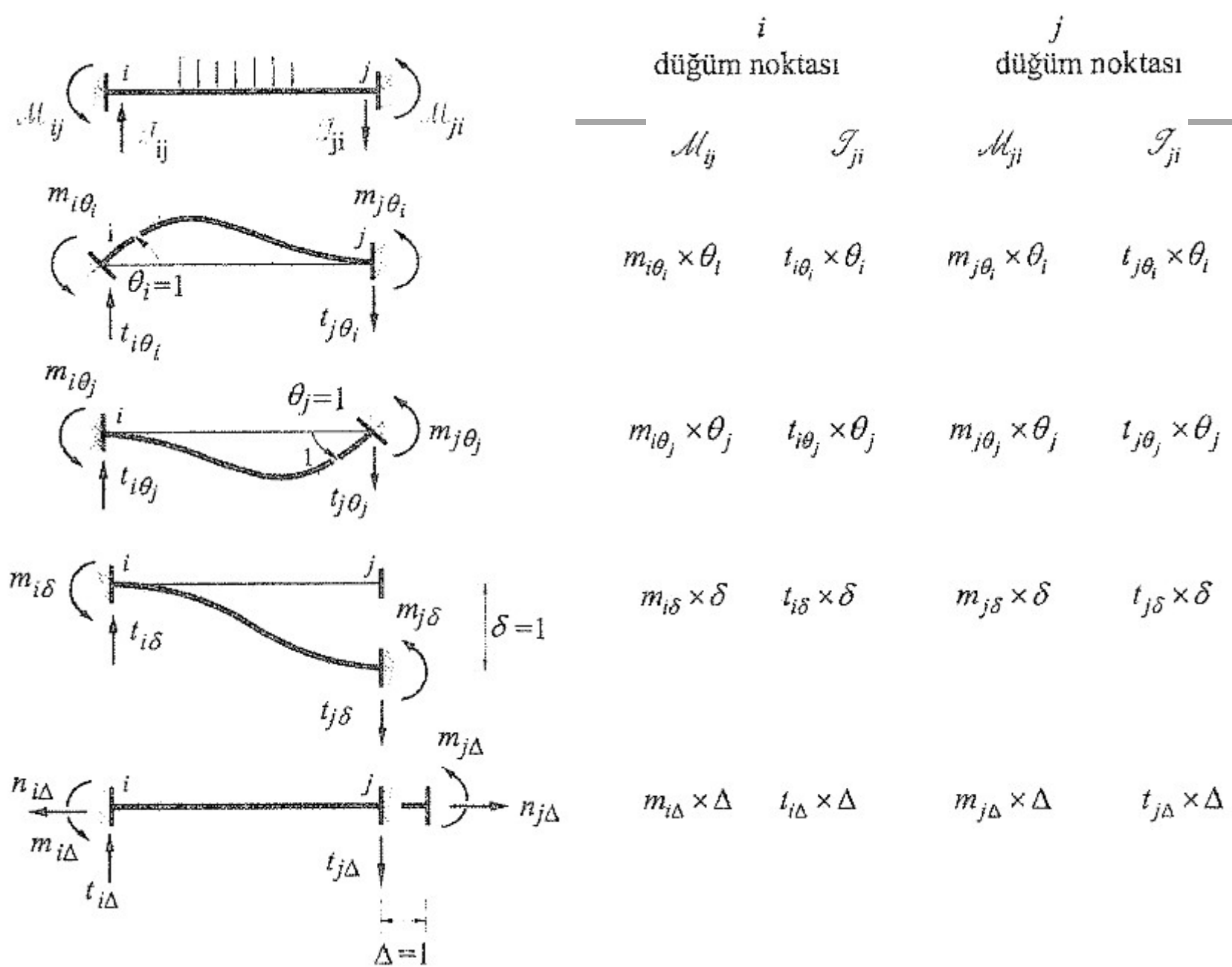
Şekil 6.97' de yer alan sistem parçasının *i* düğüm noktasına birleşen çubukları arasındaki açılar şekildeğiştirmeden sonra da korunmakta ve bu noktaya birleşen tüm çubukların uçlarındaki dönmeler birbirine eşit olmaktadır. Bu durum, çubukların düğüm noktası civarında büyük kalıcı şekildeğiştirmeler oluşmadığı ve birleşimlerin zaman ve dış etkiler nedeniyle gevşemediği sürece korunmuş sayılabilir. Dolayısıyla her düğüm noktasına kaç çubuk birleşiyor olursa olsun tüm çubuk uçlarında aynı miktarda dönme oluşmaktadır.

Gerçekte bir düğüm noktasından değil, sonlu boyutlardaki *bir kolon – kiriş birleşim bölgesi* ile onun yakın çevresi ile ilgilenilmekte olduğu unutulmamalıdır. Yapı mühendisi birleşim bölgesinin davranışını ve o bölgeye yaklaşan elemanlarının birbirlerine yük aktarımı konusunda sorulayıcı olmalıdır.

Aksi söylenenmedikçe bir düğüm noktasına birleşen çubukların birbirlerine riyit bağlanmakta oldukları ve düğüm noktasındaki dönme sürekliliğinin de doğrudan doğruya sağlanmakta olduğu varsayılmaktadır.

Uç Kuvvetleri ile Uç Yerdeğiştirmeleri Arasındaki Bağıntılar

Düzlemi içinde yüklü düzlem bir sistemin parçası olarak Şekil 6.97' de gösterilen $i - j$ çubuğuunun şekildeğiştirmeden sonra ulaştığı son duruma, uç yerdeğiştirmelerinin sıfır olduğu durumdan başlayıp, uç yerdeğiştirmelerinin sırayla oluşturduğu varsayılarak da Şekil 6.99a' da özetlendiği gibi gelinmiş olabilir. Şekil 6.1'deki genel uç yerdeğiştirmeleri göz önünde bulundurularak, diğer bir gösterimle $\bar{D}_4 = \delta = D_4 + D_6$, $\bar{D}_3 = \Delta = D_3 + D_5$ tanımları yapılarak genel şekildeğiştirme durumunu verecek her bir özel birim şekildeğiştirme durumunda i ve j uçlarında oluşan uç kuvvetleri, aynı ayrı Şekil 6.99b ve c'de yer almaktır ve aşağıda da çubuğuun i ve j uçlarındaki uç kuvvetleri esas alınarak en genel şekilleriyle bir araya getirilmektedir. Uç kuvvetleri ile uç yerdeğiştirmeleri arasındaki bağıntılarda, öğretici özelliği yüksek olan ve bu kitapta da benimsenen özgün İTÜ gösterilimi kullanılmıştır.



Uç kuvvetleri	Ankastrilik uç kuvvetleri	θ_i ' den	θ_j ' den	δ 'dan	Δ 'dan
			oluşan uç kuvvetleri		
M_{ij}	\mathcal{M}_{ij}	$m_{i\theta_i} \times \theta_i$	$m_{i\theta_j} \times \theta_j$	$m_{i\delta} \times \delta$	$m_{i\Delta} \times \Delta$
T_{ij}	\mathcal{T}_{ij}	$t_{i\theta_i} \times \theta_i$	$t_{i\theta_j} \times \theta_j$	$t_{i\delta} \times \delta$	$t_{i\Delta} \times \Delta$
N_{ij}	\mathcal{N}_{ij}	$n_{i\theta_i} \times \theta_i$	$n_{i\theta_j} \times \theta_j$	$n_{i\delta} \times \delta$	$n_{i\Delta} \times \Delta$
M_{ji}	\mathcal{M}_{ji}	$m_{j\theta_i} \times \theta_i$	$m_{j\theta_j} \times \theta_j$	$m_{j\delta} \times \delta$	$m_{j\Delta} \times \Delta$
T_{ji}	\mathcal{T}_{ji}	$t_{j\theta_i} \times \theta_i$	$t_{j\theta_j} \times \theta_j$	$t_{j\delta} \times \delta$	$t_{j\Delta} \times \Delta$
N_{ji}	\mathcal{N}_{ji}	$n_{j\theta_i} \times \theta_i$	$n_{j\theta_j} \times \theta_j$	$n_{j\delta} \times \delta$	$n_{j\Delta} \times \Delta$

$$M_{ij} = \mathcal{M}_{ij} + m_{i\theta_i} \times \theta_i + m_{i\theta_j} \times \theta_j + m_{i\delta} \times \delta + m_{i\Delta} \times \Delta$$

$$T_{ij} = \mathcal{T}_{ij} + t_{i\theta_i} \times \theta_i + t_{i\theta_j} \times \theta_j + t_{i\delta} \times \delta + t_{i\Delta} \times \Delta$$

$$N_{ij} = \mathcal{N}_{ij} + n_{i\theta_i} \times \theta_i + n_{i\theta_j} \times \theta_j + n_{i\delta} \times \delta + n_{i\Delta} \times \Delta$$

$$M_{ji} = \mathcal{M}_{ji} + m_{j\theta_i} \times \theta_i + m_{j\theta_j} \times \theta_j + m_{j\delta} \times \delta + m_{j\Delta} \times \Delta$$

$$T_{ji} = \mathcal{T}_{ji} + t_{j\theta_i} \times \theta_i + t_{j\theta_j} \times \theta_j + t_{j\delta} \times \delta + t_{j\Delta} \times \Delta$$

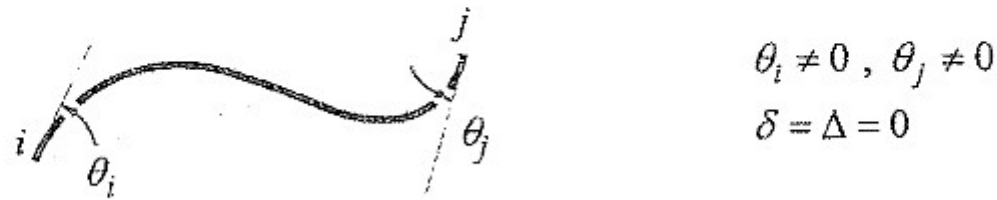
$$N_{ji} = \mathcal{N}_{ji} + n_{j\theta_i} \times \theta_i + n_{j\theta_j} \times \theta_j + n_{j\delta} \times \delta + n_{j\Delta} \times \Delta$$

Düğüm Noktaları Sadece Dönen, Düğüm Noktaları Dönen ve Ötelenen Sistemler

Diş yükler etkisindeki doğru eksenli çubuk sistemlerin $\Delta = 0$ varsayıımı yapılan bazı çubuklarında, sistemin sınır koşulları nedeniyle çubuk eksenlerine dik doğrultudaki göreli uç yerdeğiştirmesi δ da sıfır olabilmekte ve böyle bir durumda (6.133a) 'da verilen genel süperpozisyon denklemleri $\Delta = \delta = 0$ alınarak;

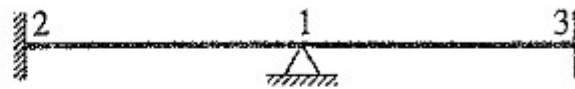
Uç Kuvvetleri	Ankastrelilik uç kuvvetleri	θ_i 'den oluşan uç kuvvetleri	θ_j 'den oluşan uç kuvvetleri
$M_{ij} =$	\mathcal{M}_{ij}	$+ m_{i\theta_i} \times \theta_i$	$+ m_{i\theta_j} \times \theta_j$
$M_{ji} =$	\mathcal{M}_{ji}	$+ m_{j\theta_i} \times \theta_i$	$+ m_{j\theta_j} \times \theta_j$
$T_{ij} =$	\mathcal{T}_{ij}	$+ t_{i\theta_i} \times \theta_i$	$+ t_{i\theta_j} \times \theta_j$
$T_{ji} =$	\mathcal{T}_{ji}	$+ t_{j\theta_i} \times \theta_i$	$+ t_{j\theta_j} \times \theta_j$
$N_{ij} =$	\mathcal{N}_{ij}	$+ n_{i\theta_i} \times \theta_i$	$+ n_{i\theta_j} \times \theta_j$
$N_{ji} =$	\mathcal{N}_{ji}	$+ n_{j\theta_i} \times \theta_i$	$+ n_{j\theta_j} \times \theta_j$

şekline indirgenmektedir. Çubuk uçlarında dolayısıyla düğüm noktalarında, sistemin şekildeğiştirmesinden sonra sadece θ_i ve θ_j dönmeleri gözlenen bu tür sistemlere *düğüm noktaları sadece dönen* ya da *düğüm noktaları sabit sistemler* denir, Şekil 6.101.



Şekil 6.101 Göreli uç yerdeğiştirmeleri sıfır olan çubuklar

Örnek:1)



(dnss)

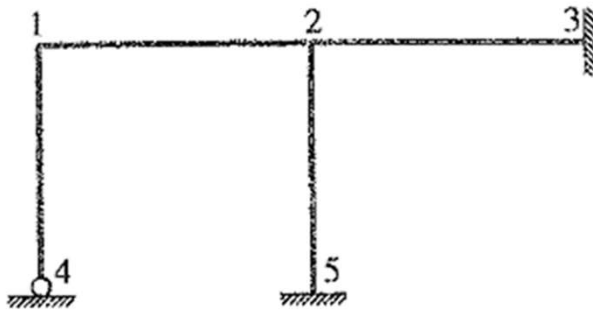
Bilinmeyen: θ_1

Denklem: $\sum M_1 = 0$

$$M_{12} \left(\frac{1}{\text{roller}} \right) M_{13}$$

$$M_{12} + M_{13} = 0$$

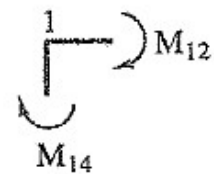
Örnek:2)



Bilinmeyenler: θ_1, θ_2

Denklemeler: $\sum M_1 = 0$

$$M_{12} + M_{14} = 0$$

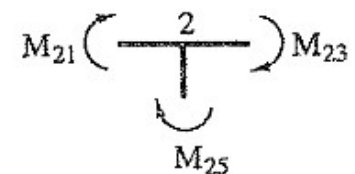


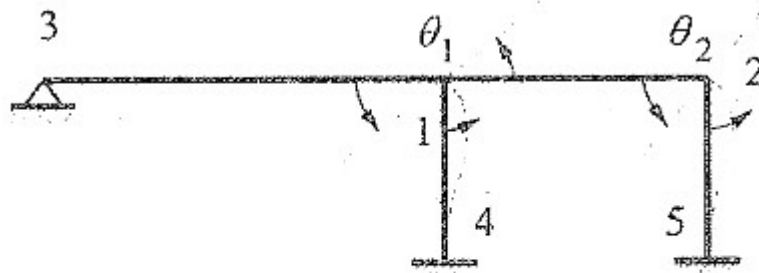
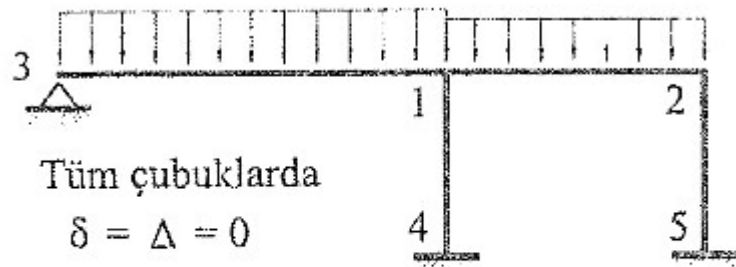
(Eksenel boy değişmesi $\Delta_{ij} = 0$ kabul edilirse)

(dnss)

$$\sum M_2 = 0$$

$$M_{21} + M_{23} + M_{25} = 0$$





a Şekildeğiştirme öncesi sistem ve dış yükler

b Olası şekildeğiştirme durumu

$$M_{12} = M_{12} + m_{1\theta_1}^{12} \times \theta_1 + m_{1\theta_2}^{12} \times \theta_2$$

$$M_{21} = M_{21} + m_{2\theta_1}^{12} \times \theta_1 + m_{2\theta_2}^{12} \times \theta_2$$

$$M_{14} = 0 + m_{1\theta_1}^{14} \times \theta_1 + 0$$

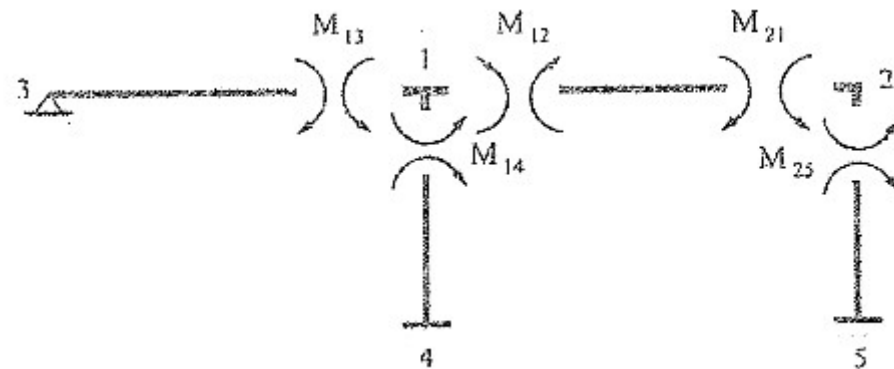
$$M_{41} = 0 + m_{4\theta_1}^{14} \times \theta_1 + 0$$

$$M_{25} = 0 + 0 + m_{2\theta_2}^{25} \times \theta_2$$

$$M_{52} = 0 + 0 + m_{5\theta_2}^{25} \times \theta_2$$

Burada dikkat edilmesi gereken konular arasında, üzerinde dış yük bulunmayan ve bir ucu ankastre mesnet olan $1 - 4$ ve $2 - 5$ çubuklarında uç kuvvetlerinin sırasıyla sadece 1 ve sadece 2 uçlarındaki düğüm noktası dönümlerine bağlı olmalarıdır. Sınır koşulları gözönüne alındığında, bunlardan farklı bir çubuk daha bulunmaktadır; $1 - 3$ çubuğuunun 3 ucu mafsallıdır yani θ_1 ve θ_2 için yapılan varsayımlardan bağımsız olarak donecek ve moment almayacaktır. Bu çubuğuun diğer ucundaki moment ise Bölüm VI.1.2.7'de incelenmiş olan bu özel mesnetlenme durumundaki yükleme sabitleri ile birim yerdeğiştirme sabitlerini, iki ucu ankastre olan durumda kilerden ayırmak üzere, *üstte bir çizgi* kullanılarak (6.136)'da verildiği şekilde yazılabılır;

$$\bar{M}_{13} = \bar{\mu}_{13} + \bar{m}_{1\theta_1}^{13} \times \theta_1 \quad (6.136)$$



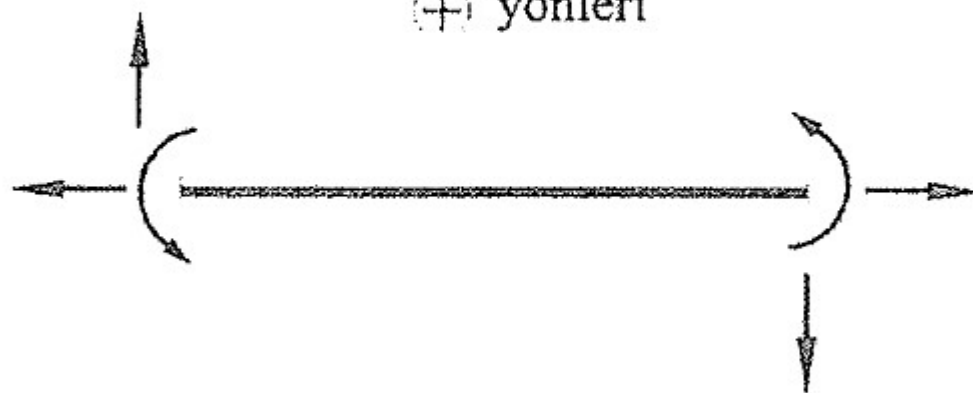
$$\sum M_1 = 0 \quad , \quad M_{13} + M_{12} + M_{14} = 0$$

$$\sum M_2 = 0 \quad , \quad M_{21} + M_{25} = 0$$

$$\left(\bar{\mathcal{M}}_{13} + \bar{m}_{1\theta_1}^{13} \times \theta_1 \right) + \left(\mathcal{M}_{12} + m_{1\theta_1}^{12} \times \theta_1 + m_{1\theta_2}^{12} \times \theta_2 \right) + \left(m_{1\theta_1}^{14} \times \theta_1 \right) = 0$$

$$\left(\mathcal{M}_{21} + m_{2\theta_1}^{12} \times \theta_1 + m_{2\theta_2}^{12} \times \theta_2 \right) + \left(m_{2\theta_2}^{25} \times \theta_2 \right) = 0$$

yerdeğiştirme yöntemi
uç kuvvetlerinin ve uç yerdeğiştirmelerinin
(+) yönleri



a Yerdeğiştirme yöntemi

Hesapta İzlenecek Yol:

Düğüm noktaları sabit sistemlerin yerdeğiştirme yöntemi ile hesabında izlenecek yol aşağıdaki gibi özetlenebilir:

- i. *Bilinmeyenlerin Belirlenmesi:* Bilinmeyenler düğüm noktalarının dönümleridir. Düğüm noktaları belirlenirken mesnetler ile karıştırılmamalıdır.
- ii. *Denklemlerin Belirlenmesi:* Çözümde kullanılacak denklemler, düğüm noktası moment denge denklemleridir. Bunların yazılabilmesi için düğüm noktalarını dönmeye zorlayan ankastrelik momentleri ile çubuk birim uç dönümlerine karşı gelen birim yerdeğiştirme sabitlerinin bilinmesine gereksinim vardır.
- iii. *Ankastrelik Momentlerinin Bulunması:* Ankastrelik momentleri, dış etkilere, çubugün sınır koşullarına bağlıdır ve işaretleri yerdeğiştirme yöntemine uygun olan yönlerde göre belirlenmiş olmalıdır. Çubuk üzerinde saat ibreleri tersi yönünde olan ankastrelik momentlerinin artı olması öngörmektedir, Şekil 6.107a. Bunlar, örnek olarak seçilmiş düzgün yayılı yük durumunda, sırasıyla iki ucundaki dönümleri tutulmuş bir çubuk için Şekil 6.108a' da, bir ucu dönmeye karşı tutulmuş bir çubuk için de Şekil 6.108b₁ ve b₂' de gözden geçirilmektedir.

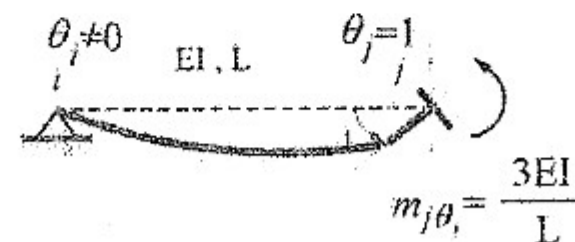
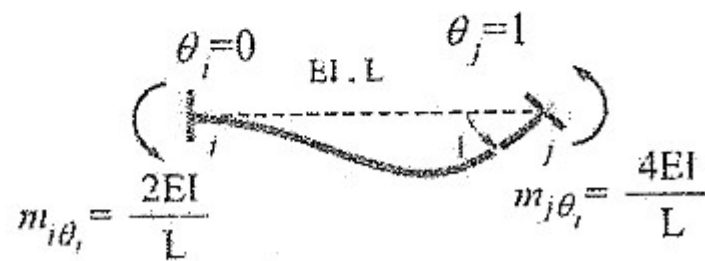
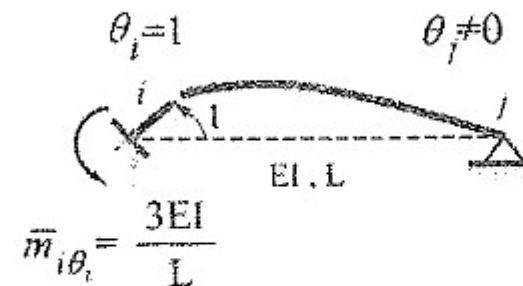
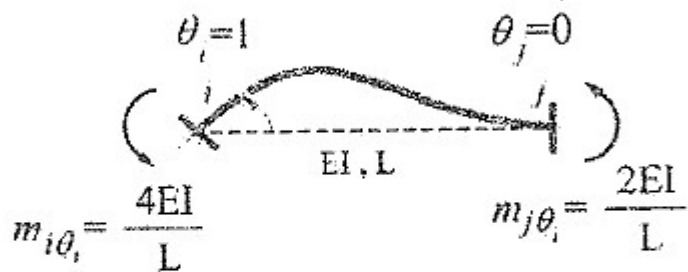
Gerçek yönler ve işaretler

$$\bar{\tau}_{ij} = \frac{qL^2}{12} \left(\begin{array}{c} q \\ \text{Diagram showing a beam of length L with a uniformly distributed load q downwards, supported by two roller supports at the ends.} \end{array} \right) \quad \bar{\tau}_{ji} = -\frac{qL^2}{12} \quad a$$

$$\bar{\tau}_{ij} = \frac{qL^2}{8} \left(\begin{array}{c} q \\ \text{Diagram showing a beam of length L with a uniformly distributed load q downwards, supported by a roller at the left end and a pin at the right end.} \end{array} \right) \quad \bar{\tau}_{ji} = 0 \quad b_1$$

$$\bar{\tau}_{ij} = 0 \quad \left(\begin{array}{c} q \\ \text{Diagram showing a beam of length L with a uniformly distributed load q downwards, supported by a pin at the left end and a roller at the right end.} \end{array} \right) \quad \bar{\tau}_{ji} = -\frac{qL^2}{8} \quad b_2$$

- iv. *Birim Yerdeğiştirme Sabitlerinin Bulunması:* Çubuk uçlarındaki birim dönmelerden oluşan bu üç momentleri, sınır koşullarına bağlıdır. Birim yerdeğiştirme sabitleri adını alan bu büyüklükler prizmatik doğru eksenli çubuklar gözönüne alındığında tek ve iki uçtaki dönmelerin tutulduğu durumlar için Şekil 6.109a ve b'de yeniden özetlenmektedir.



Şekil 6.109 Birim yerdeğiştirme sabitleri

-
- v. *Uç Kuvvetleri ile Uç Yerdeğiştirmeleri Arasındaki Bağıntılar ve Düğüm Noktası Denge Denklemleri:* İki ucu da dönmeye karşı tutulmuş bir $i - j$ çubuğunda

$$M_{ij} = \mathcal{M}_{ij} + m_{i\theta_i} \times \theta_i + m_{j\theta_j} \times \theta_j$$

$$M_{ji} = \mathcal{M}_{ji} + m_{j\theta_i} \times \theta_i + m_{i\theta_j} \times \theta_j$$

i ucu dönmeye karşı tutulmuş j ucu serbestçe dönen $i - j$ çubuğunda;

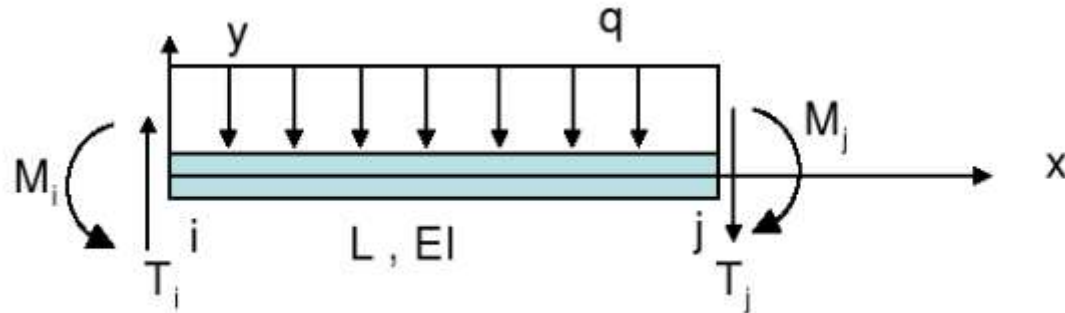
$$M_{ij} = \bar{\mathcal{M}}_{ij} + \bar{m}_{i\theta_i} \times \theta_i$$

j ucu dönmeye karşı tutulmuş i ucu serbestçe dönen $i - j$ çubuğunda;

$$M_{ji} = \bar{\mathcal{M}}_{ji} + \bar{m}_{j\theta_i} \times \theta_i$$

bağıntılarına başvurularak bütün çubuk uçlarındaki momentler parametrik olarak ifade edilebilir ve her düğüm noktasında,

$$\sum M = 0$$



Bir yapı elemanında eleman uçlarında oluşan toplam momentler

1. Eleman üzerindeki dış yüklerden dolayı elaman uçlarında oluşan Ankastrelilik uç momentleri (M_{ij}^F)
 2. Eleman uçlarının dönmesi ile oluşan momentler (θ_i, θ_j)
 3. Eleman uçlarının birbirine göre relativ hareketi ile oluşan momentler'den (Φ_i)
- oluşmaktadır.

$$k = \frac{2EI}{L} \quad \text{Rijitlik için verilen tanım yerine yazılırsa}$$

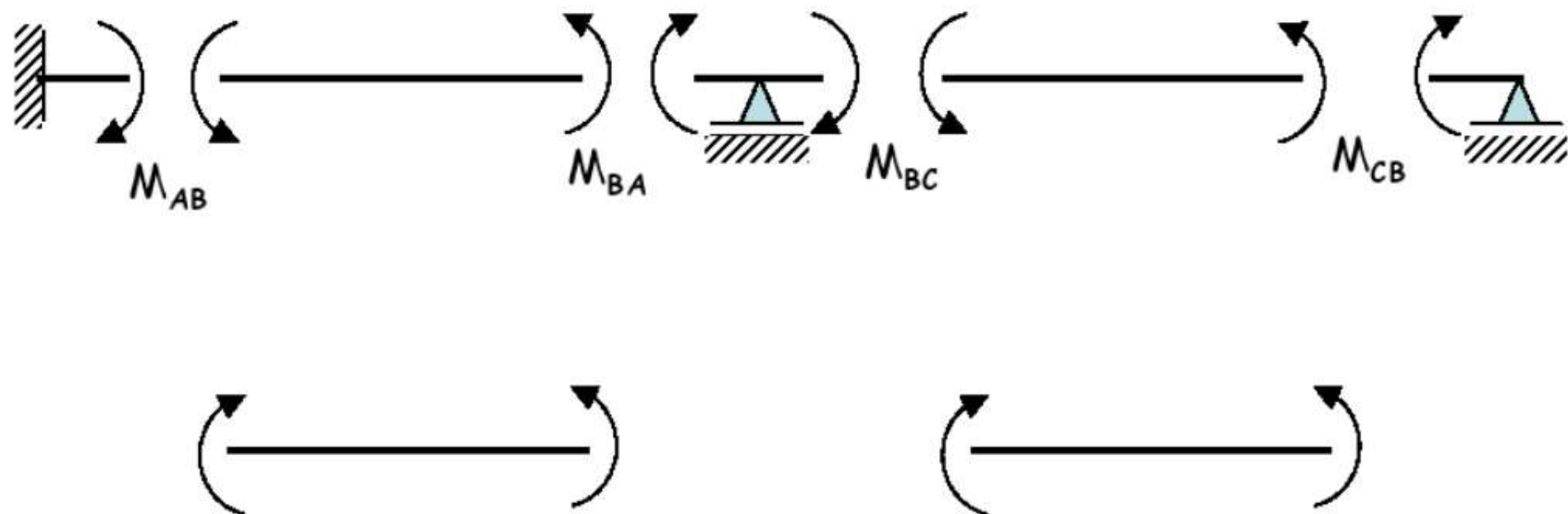
$$M_1 = k(2\theta_1 + \theta_2 - 3\phi)$$

$$M_2 = k(\theta_1 + 2\theta_2 - 3\phi)$$

$$M_{ij} = k_{ij}(2\theta_i + \theta_j - 3\phi_{ij}) + M^F_{ij}$$

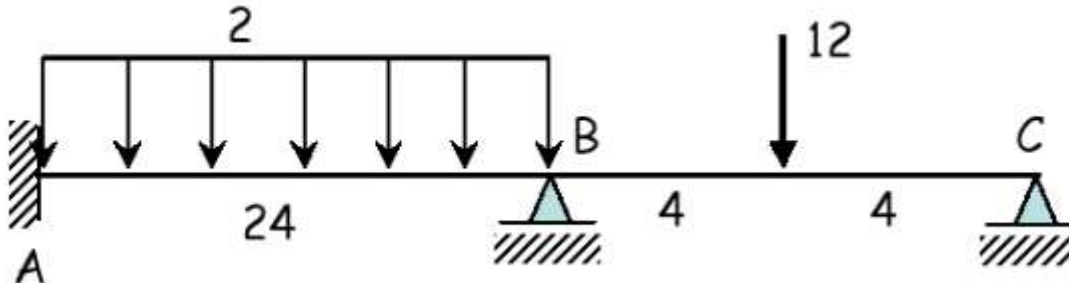
$$M_{ji} = k_{ij}(\theta_i + 2\theta_j - 3\phi_{ij}) + M^F_{ji}$$

Açı metodunda pozitif yön kabulü

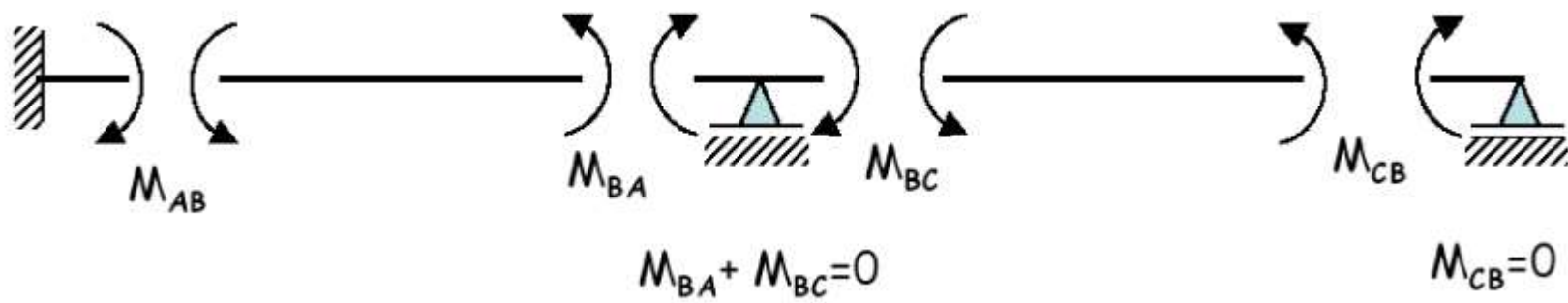
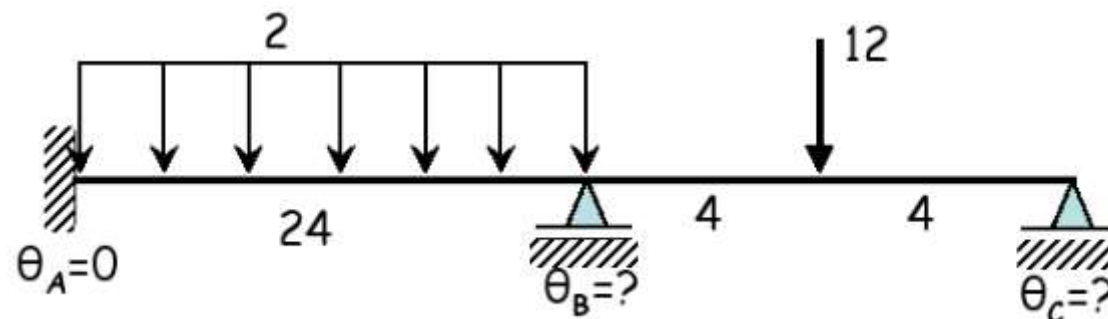


Moment değişim grafiği çizilirken kullanılan pozitif yön kabulü

Örnek 1:



Yanda özellikleri verilen sistem açı metodu ile çözünüz.



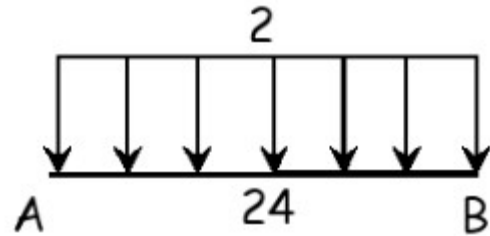
$$M_{AB} = 2E \frac{I}{L} (2\theta_A + \theta_B - 3\phi) + M_{AB}^F$$

$$M_{BA} = 2E \frac{I}{L} (\theta_A + 2\theta_B - 3\phi) + M_{BA}^F$$

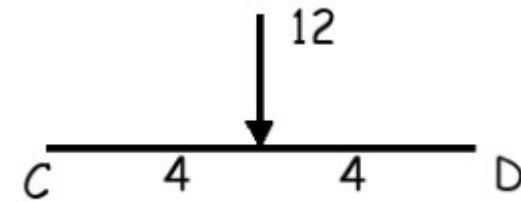
$$M_{BC} = 2E \frac{I}{L} (2\theta_B + \theta_C - 3\phi) + M_{BC}^F$$

$$M_{CB} = 2E \frac{I}{L} (\theta_B + 2\theta_C - 3\phi) + M_{CB}^F$$

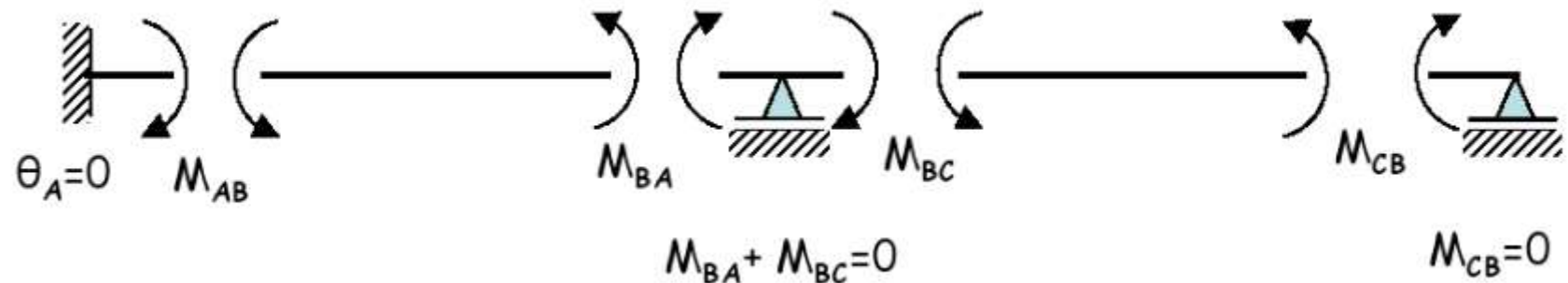
Ankastrelik uç momentleri



$$M_{AB}^F = -M_{BA}^F = \frac{q * l^2}{12} = \frac{2 * 24^2}{12} = 96$$



$$M_{CD}^F = -M_{DC}^F = \frac{P * l}{8} = \frac{12 * 8}{8} = 12$$



$$M_{AB} = 2E \frac{I}{L} (2\theta_A + \theta_B - 3\phi) + M_{AB}^F = 2E \frac{I}{24} (\theta_B) + 96$$

$$M_{BA} = 2E \frac{I}{L} (\theta_A + 2\theta_B - 3\phi) + M_{BA}^F = 2E \frac{I}{24} (2\theta_B) - 96$$

$$M_{BC} = 2E \frac{I}{L} (2\theta_B + \theta_C - 3\phi) + M_{BC}^F = 2E \frac{I}{8} (2\theta_B + \theta_C) + 12$$

$$M_{CB} = 2E \frac{I}{L} (\theta_B + 2\theta_C - 3\phi) + M_{CB}^F = 2E \frac{I}{8} (\theta_B + 2\theta_C) - 12$$

$$M_{BA} + M_{BC} = 2E \frac{I}{24} (2\theta_B) + 96 + 2E \frac{I}{8} (2\theta_B + \theta_C) + 12$$

$$M_{CB} = 2E \frac{I}{8} (\theta_B + 2\theta_C) - 12 = 0$$

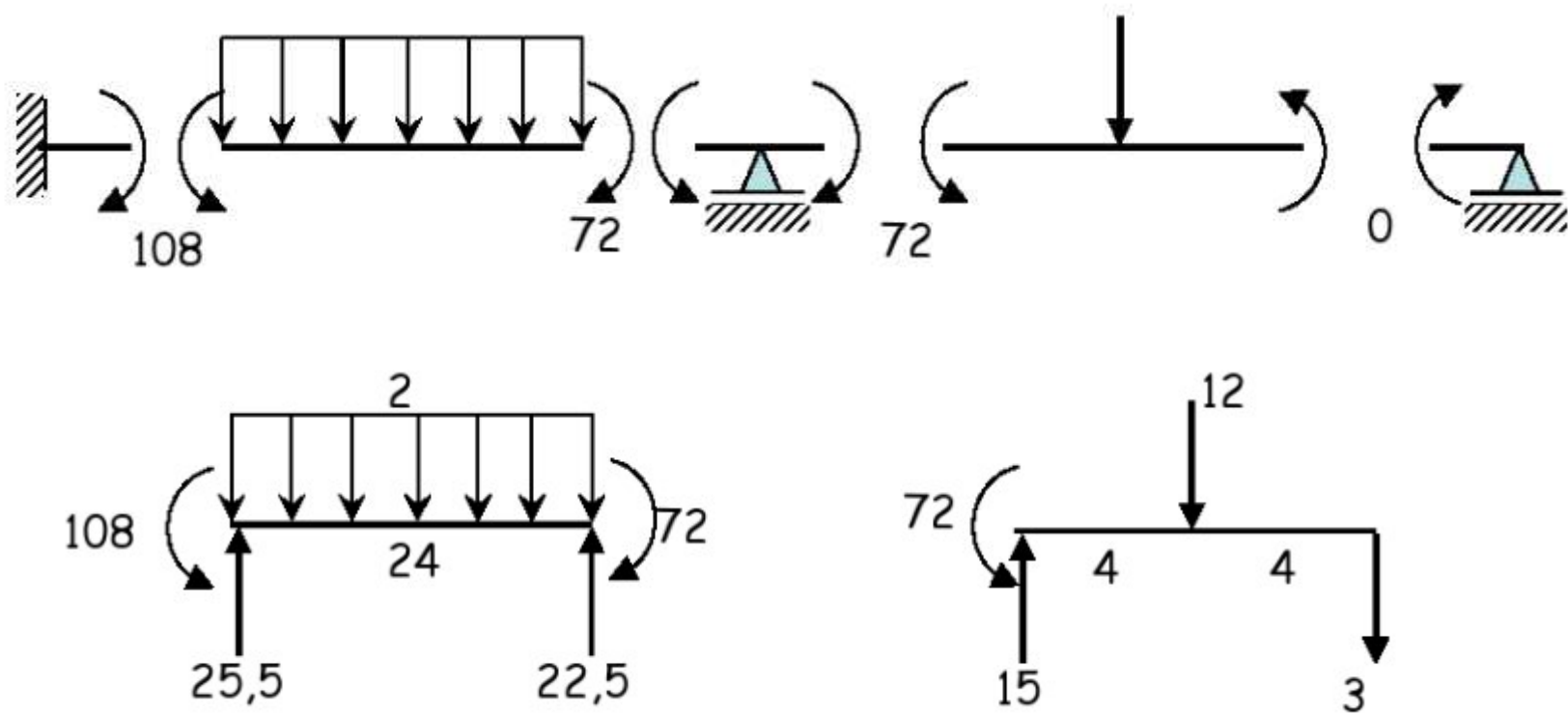
$$\left. \begin{array}{l} \frac{EI}{6}(\theta_B) - 96 + \frac{EI}{2}(\theta_B) + \frac{EI}{4}(\theta_C) + 12 = 0 \\ \frac{EI}{4}(\theta_B) + \frac{EI}{2}(\theta_C) - 12 = 0 \end{array} \right\} \begin{array}{l} \theta_B = \frac{144}{EI} \\ \theta_C = \frac{-48}{EI} \end{array}$$

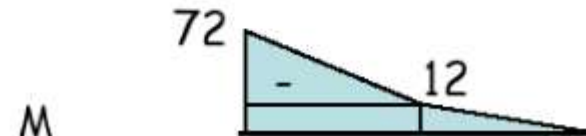
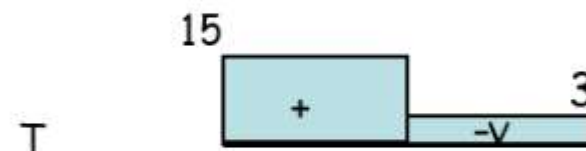
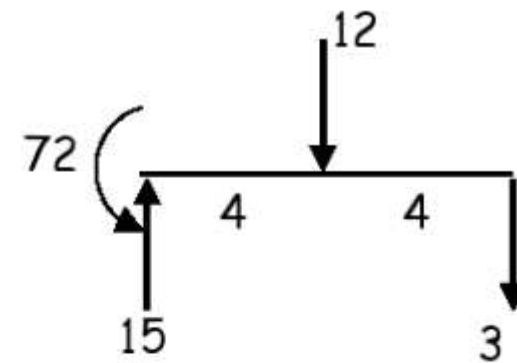
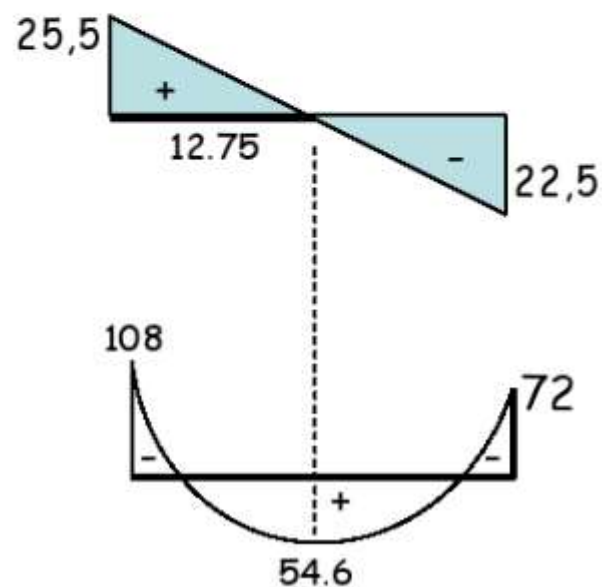
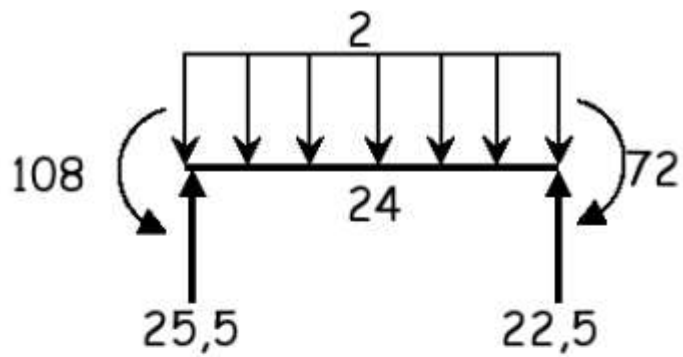
$$M_{AB} = 2E \frac{I}{24} (\theta_B) + 96 = 2 * \frac{EI}{24} * \frac{144}{EI} + 96 = 108$$

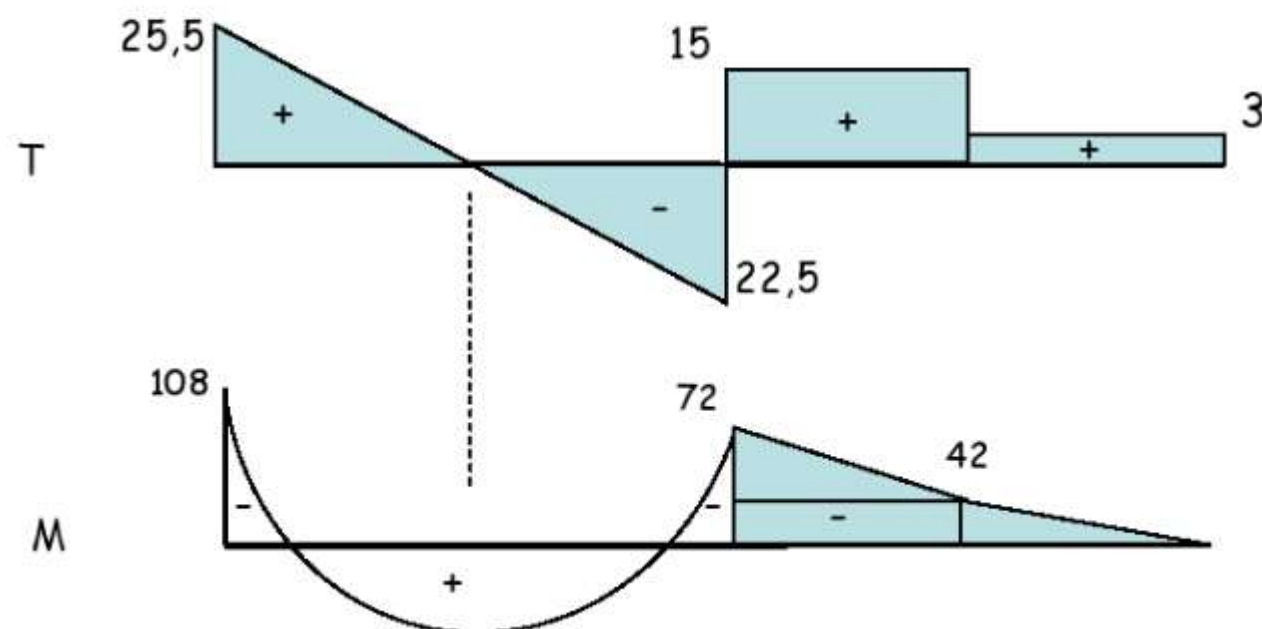
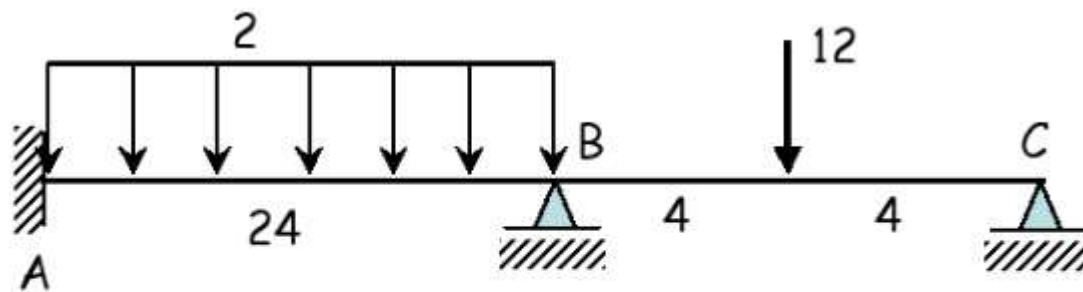
$$M_{BA} = 2 * \frac{EI}{24} (2 * \theta_B) - 96 = 2 * \frac{EI}{24} * (2 * \frac{144}{EI}) - 96 = -72$$

$$M_{BC} = 2 * \frac{EI}{8} (2\theta_B + \theta_C) + 12 = 2 * \frac{EI}{8} (2 * \frac{144}{EI} - \frac{48}{EI}) + 12 = 72$$

$$M_{CB} = 2 * \frac{EI}{8} (\theta_B + 2\theta_C) - 12 = 2 * \frac{EI}{8} (\frac{144}{EI} - 2 * \frac{48}{EI}) - 12 = 0$$







Açı Metodu ile Çözüm Yapıılırken Uç Mesnette Momentin Sıfır Olması Durumu

Bu problem B ve C noktalarındaki dönmeler bilinmeyen olarak seçilmiş çözüldü. Diğer bir çözüm yöntemi için C noktasındaki momentin sıfır olması durumu kullanılmaktadır. Böylece seçilen bilinmeyen sayısı azaltılabilmektedir. Her iki çözümde de sonuç aynı çıkmaktadır. Ancak uç noktada sabit yada hareketli mesnet olması halinde momentin sıfır olması özelliği kullanılması durumunda çözüm daha kolay elde edilmektedir.

Yukarıdaki örnekte B ve C noktalarındaki dönmeler bilinmeyen olarak seçilmiş daha önce anlatılan şekilde çözüm yapılmaktadır.

C noktasındaki dönme değeri bilinmeyen olarak seçilmeden çözüm yapılmak istenmektedir. Sistemde bilinmeyen olarak sadece B düğümünün dönmesidir. Bu durumda AB çubuğundaki üç momentler M_{AB} ve M_{BA} için daha önce yazılan moment denklemleri kullanılır.

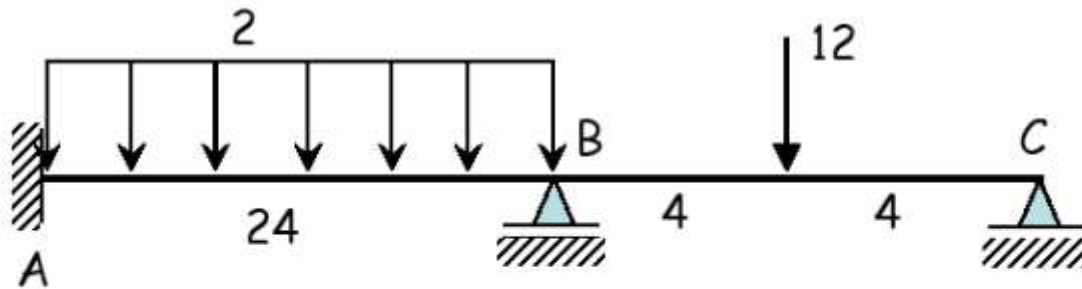
$$M_{AB} = 2E \frac{I}{L} (2\theta_A + \theta_B - 3\phi) + M_{AB}^F$$

$$M_{BA} = 2E \frac{I}{L} (\theta_A + 2\theta_B - 3\phi) + M_{BA}^F$$

Ancak C noktasındaki momente değeri sıfır olduğu bilinmektedir. Bu durumda BC çubuğundaki momente değerleri şu denklemlerle yazılır.

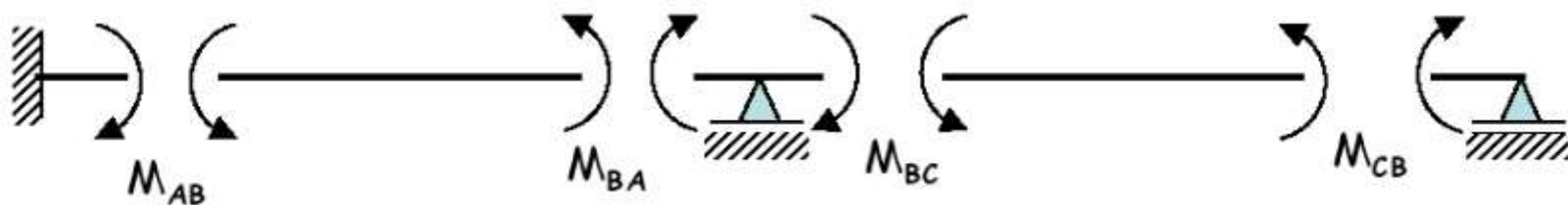
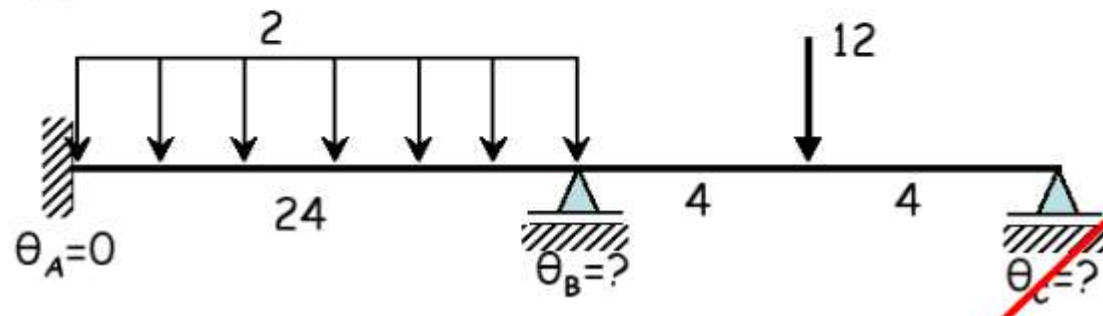
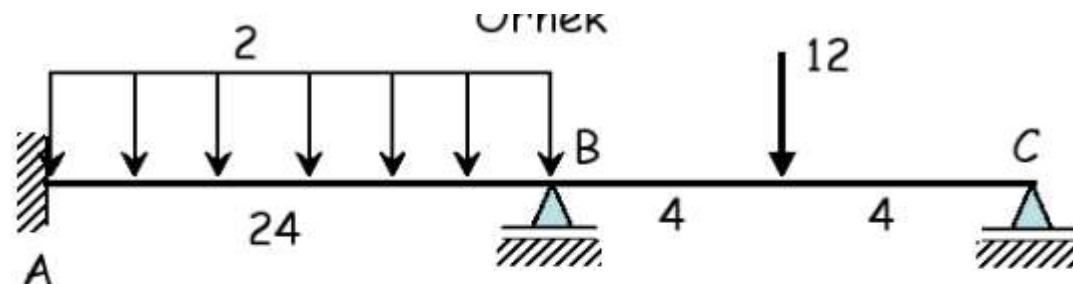
$$M_{BC} = 3E \frac{I}{L} (\theta_B - \phi) + (M_{BA}^F)^*$$

$$M_{BC} = 0$$



$$M_{BC} = 3E \frac{I}{L} (\theta_B - \phi) + (M_{BC}^F)^* \quad M_{BC} = 0$$

Bu denklemde BC çubuğuundaki ankastrelik uç momentleri yazılırken bir ucu ankastre diğer ucu hareketli mesnet olan çubuklar için hazırlanan tablolar kullanılarak ankastrelik uç momentleri yazılır.



$$M_{BA} + M_{BC} = 0$$

$$M_{CB} = 0$$

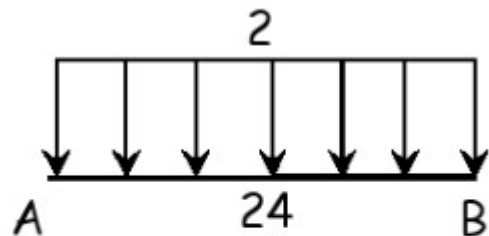
Problem çözülürken C noktasındaki momentin sıfır olması kullanılacaktır. Yani BC çubuğu için bir ucu hareketli mesnet olan sistemler için yazılan denklem kullanılacaktır. Böylece bilinmeyen sayısı 2 den 1 e düşecektir.

$$M_{AB} = 2E \frac{I}{L} (2\theta_A + \theta_B - 3\phi) + M_{AB}^F$$

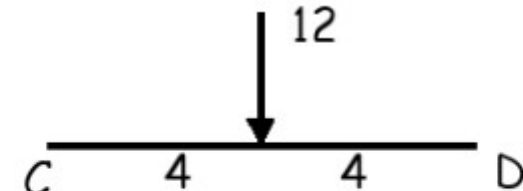
$$M_{BA} = 2E \frac{I}{L} (\theta_A + 2\theta_B - 3\phi) + M_{BA}^F$$

$$M_{BC} = 3E \frac{I}{L} (\theta_B - \phi) + (M_{BC}^F)^*$$

$$M_{CB} = 0$$



$$M_{AB}^F = -M_{BA}^F = \frac{q * l^2}{12} = \frac{2 * 24^2}{12} = 96$$



$$(M_{CD}^F)^* = \frac{3 * P * l}{16} = \frac{3 * 12 * 8}{16} = 18$$

$$M_{AB} = 2E \frac{I}{L} (2\theta_A + \theta_B - 3\phi) + M_{AB}^F = 2E \frac{I}{24} (\theta_B) + 96$$

$$M_{BA} = 2E \frac{I}{L} (\theta_A + 2\theta_B - 3\phi) + M_{BA}^F = 2E \frac{I}{24} (2\theta_B) - 96$$

$$M_{BC} = 3E \frac{I}{L} (\theta_B - \phi) + (M_{BC}^F)^* = 3E \frac{I}{8} (\theta_B) + 18$$

$$M_{BA} + M_{BC} = 2E \frac{I}{24} (2\theta_B) + 96 + 3E \frac{I}{8} (\theta_B) + 18 = 0$$

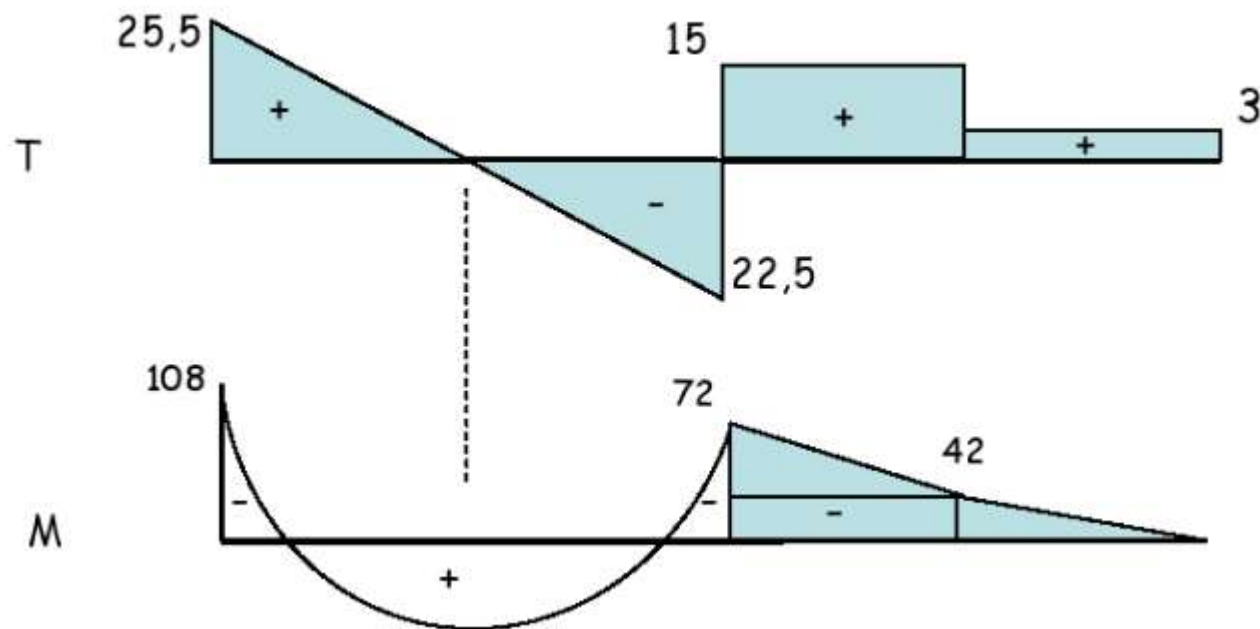
$$\theta_B = \frac{144}{EI}$$

$$M_{AB} = 2E \frac{I}{24} (\theta_B) + 96 = 2 * \frac{EI}{24} * \frac{144}{EI} + 96 = 108$$

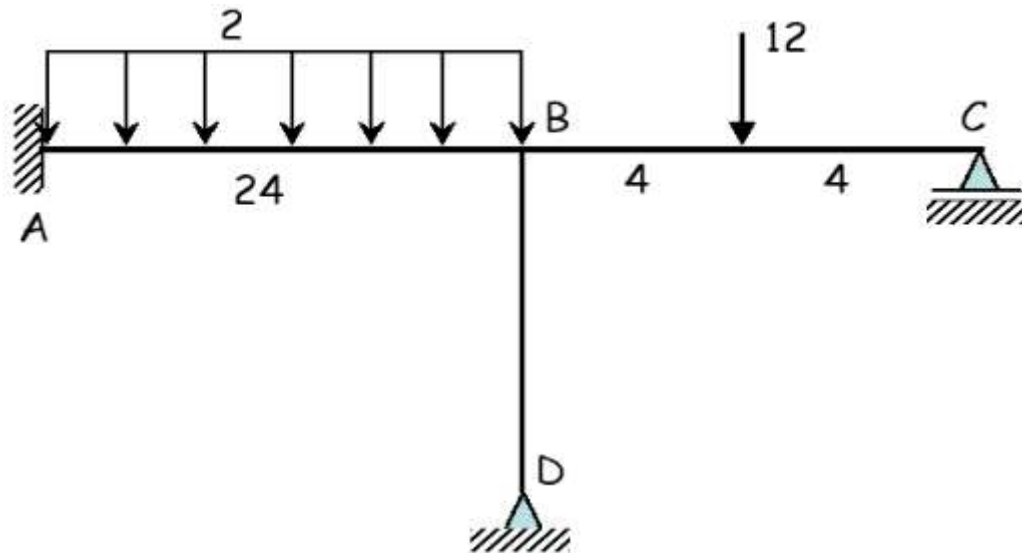
$$M_{BA} = 2 * \frac{EI}{24} (2 * \theta_B) - 96 = 2 * \frac{EI}{24} * (2 * \frac{144}{EI}) - 96 = -72$$

$$M_{BC} = 3 * \frac{EI}{8} (\theta_B) + 18 = 3 * \frac{EI}{8} (\frac{144}{EI}) + 18 = 72$$

$$M_{CB} = 0$$



Örnek 2:

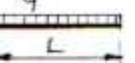
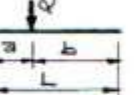
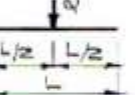
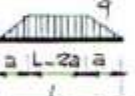
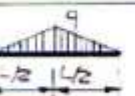
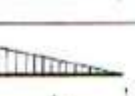
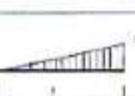


Yukarıda özellikleri verilen sistemi açı metodu ile çözmek istersek A noktasındaki dönme sıfırdır ancak B,C ve D noktalarındaki dönmeler bilinmeyen olarak seçilip 3 denklem yazılarak çözüm yapılabilir.

Ancak eğer C ve D noktalarındaki momentlerin sıfır olması durumunu kullanmak istersek ve bu çubuklar için düzenlenmiş denklemleri ve ankastrelik uç momentlerini kullanırsak bilinmeyen olarak sadece B noktasındaki dönme değeri kalır. Böylece sadece tek bir bilinmeyen ile sistemin çözümü mümkün olabilmektedir.

Bu yüzden bazen normal açı denklemi yazılarak el ile çözülmesi oldukça zahmetli olacak sistemler için özel olarak düzenlenmiş denklemler ve ankastrelik uç momentlerini kullanarak çözüm oldukça kolay yapılmaktadır.

DOĞRU EKSENİ PRİZMATİK (EI = SABİT) CUBUKLarda
ANKASTRELİK MOMENTLERİ

Tördeme			
	M_{ij}	M_{ji}	\bar{M}_{ij}
	$+\frac{qL^2}{12}$	$-\frac{qL^2}{12}$	$+\frac{qL^2}{8}$
	$+\frac{Qab^2}{L^2}$	$-\frac{Qa^2b}{L^2}$	$+\frac{Qab}{2L^2}(L+b)$
	$+\frac{QL}{8}$	$-\frac{QL}{8}$	$+\frac{3QL}{16}$
	$+\frac{q^2}{12}[\frac{-\frac{a}{2}}{L^2}(2-\frac{a}{L})]$	$-\frac{q^2}{12}[\frac{-\frac{a}{2}}{L^2}(2-\frac{a}{L})]$	$+\frac{q^2}{8}[\frac{1}{2}-\frac{a^2}{L^2}(2-\frac{a}{L})]$
	$+\frac{5q^2}{96}$	$-\frac{5q^2}{96}$	$+\frac{5q^2}{64}$
	$+\frac{q^2}{20}$	$-\frac{q^2}{30}$	$+\frac{q^2}{15}$
	$+\frac{q^2}{30}$	$-\frac{q^2}{20}$	$+\frac{7q^2}{120}$

ANKASTRELİK MOMENTLERİ TABLOSU

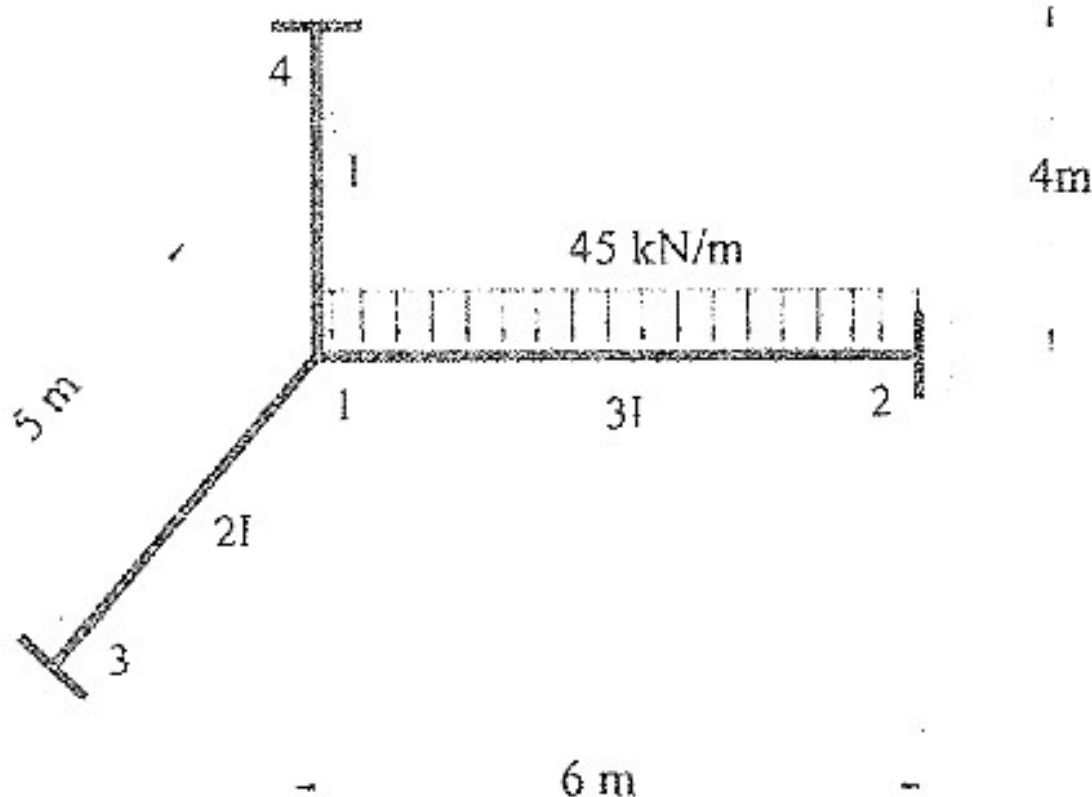
Yük	Ankastrelik Momentleri	Yük	Ankastrelik Momentleri
	$\mu_q = \frac{q l^3}{12}$ $\mu_{q^2} = \frac{q^2 l^2}{12}$		$\mu_q = \frac{q}{12} \left[l^2 - a^2 \left(2 - \frac{a}{l} \right) \right]$ $\mu_{q^2} = \frac{q^2}{12} \left[l^2 - a^2 \left(2 - \frac{a}{l} \right) \right]$
	$\mu_q = \frac{q a^2}{4} \left[2 - \frac{a}{l} \left(\frac{3}{3} - \frac{a}{l} \right) \right]$ $\mu_{q^2} = \frac{q^2 a^3}{12 l^2} (4l - 3a)$		$\mu_q = \frac{l^3}{60} (3q_1 + 2q_2)$ $\mu_{q^2} = \frac{l^2}{60} (2q_1 + 3q_2)$
	$\mu_q = \frac{q c}{24 l} (3l^2 - c^2)$ $\mu_{q^2} = \frac{q^2 c}{24 l} (3l^2 - c^2)$		$\mu_q = \frac{q l^2}{15}$ $\mu_{q^2} = \frac{q^2 l^2}{15}$
	$\mu_q = \frac{q c}{12 l^2} [4l^2 - c^2] (2b - a) -$ $4(2b^2 - a^2)$ $\mu_{q^2} = \frac{q^2 c}{12 l^2} [4l^2 - c^2] (2a - b) -$ $4(2a^2 - b^2)$		$\mu_q = \frac{P a}{l^2}$ $\mu_{q^2} = \frac{P a^2}{l^2}$ Özel hali: $a=b=\frac{l}{2}$, $\mu_q = \frac{P l}{8}$, $\mu_{q^2} = \frac{P l}{3}$
	$\mu_q = \frac{q a^2}{6 l} (3l - 2a)$ $\mu_{q^2} = \frac{q^2 a^3}{6 l} (3l - 2a)$		$\mu_q = \frac{P a}{l} (L - a)$ $\mu_{q^2} = \frac{P a}{l} (L - a)$
	$\mu_q = \frac{5}{96} q l^2$ $\mu_{q^2} = \frac{5}{96} q^2 l^2$		$\mu_q = \frac{P l}{12} \left(n - \frac{1}{n} \right)$ $\mu_{q^2} = \frac{P l}{12} \left(n - \frac{1}{n} \right)$
	$\mu_q = \frac{q}{180 l} [7l^3 - 7l^2(a - 2b) +$ $3l(a^2 - 2b^2) + 3(a^3 - 2b^3)]$ $\mu_{q^2} = \frac{q^2}{180 l} [7l^3 + 7l^2(2b - a) -$ $3l(2a^2 - b^2) - 3(2a^3 - b^3)]$		$\mu_q = \frac{P l}{12} \left(n + \frac{1}{2n} \right)$ $\mu_{q^2} = \frac{P l}{12} \left(n + \frac{1}{2n} \right)$
	$\mu_q = \frac{q l^2}{20}$ $\mu_{q^2} = \frac{q^2 l^2}{30}$		$\mu_q = M \frac{s}{l} \left(4 - 3 \frac{s}{l} - \frac{l}{s} \right)$ $\mu_{q^2} = M \frac{s}{l} \left(3 \frac{s}{l} - 2 \right)$
	$\mu_q = \frac{q a^2}{12 l} (2l - a)$ $\mu_{q^2} = \frac{q^2 a^3}{12 l} (2l - a)$		$\mu_q = \frac{6EI}{l^2} s$ $\mu_{q^2} = \frac{6EI}{l^2} b$

ANKASTRELİK MOMENTLERİ TABLOSU

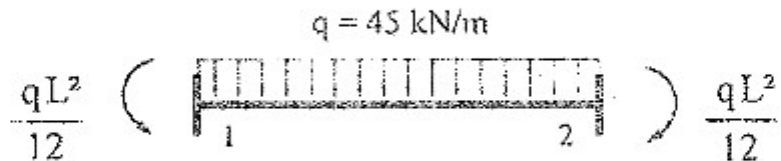
Yük	Ankastrelik Momentleri	Yük	Ankastrelik Momentleri
	$\mu_q = \frac{q l^3}{3}$		$\mu_q = \frac{q l}{3} \left[l^2 - \pi^2 \left(\frac{\pi}{2} - \frac{s}{l} \right) \right]$
	$\mu_q = \frac{q s^2}{3} \left(2 - \frac{s}{l} \right)^2$		$\mu_q = \frac{l^3}{120} (8q_2 + 7q_1)$
	$\mu_q = \frac{q c}{16l} (3l^2 - c^2)$		$\mu_q = \frac{q l^3}{10}$
	$\mu_q = \frac{q b c}{3l^2} [4(l^2 - b^2) - c^2]$		$\mu_q = \frac{P s b (b + l)}{2l^2}$ Özel hal: $s=b=\frac{l}{2}$, $\mu_q = \frac{3}{16} P l$
	$\mu_q = \frac{q l^2}{4l} (3l - 2s)$		$\mu_q = \frac{3}{2} P s \left(1 - \frac{s}{l} \right)$
	$\mu_q = \frac{5}{64} q l^3$		$\mu_q = \frac{P l}{8} \left(n - \frac{1}{n} \right)$
	$\mu_q = \frac{q l}{120} [l + b \left(7 - \frac{3b^2}{l^2} \right)]$		$\mu_q = \frac{P l}{8} \left(n + \frac{1}{2n} \right)$
	$\mu_q = \frac{q l^3}{15}$		$\mu_q = M \frac{s}{l} \left(3 - \frac{3}{2} \frac{s}{l} - \frac{l}{s} \right)$
	$\mu_q = \frac{q s^2}{2l} (2l - s)$		$\mu_q = \frac{3EI}{l^2} S$

"i" ucu mafesli, "j" ucu enkastre nesnet olmasa durumunda $\mu_q=0$ olur. μ_p ler ise "s" enkastre nesnetten olan uzaklığı göstermek üzere, yukarıdaki formüllerle bulunan değerlerin neğelişeretilmesi eğitsiz.

Örnek 3:



ii. Ankastrelilik üç kuvvetleri



$$\mathcal{M}_{12} = \frac{qL^2}{12} = \frac{45 \times 6^2}{12} = 135 \text{ kNm}, \quad \mathcal{M}_{t2} = -\frac{qL^2}{12} = -\frac{45 \times 6^2}{12} = -135 \text{ kNm}$$

iii. Birim yerdeğiştirme sabitleri

Çubuk i-j	$m_{i\theta_i}$	$m_{i\theta_j}$
1-3	$4E(2I) / 5$ 1.60EI	$2E(2I) / 5$ 0.80EI
1-4	$4E(I) / 4$ 1.00EI	$2E(I) / 4$ 0.50EI
1-2	$4E(3I) / 6$ 2.00EI	$2E(3I) / 6$ 1.00EI

iv. Denge denklemleri

$$\sum M_1 = 0 \Leftrightarrow M_{13} + M_{12} + M_{14} = 0$$

$$M_{13} = m_{1\theta_1}^{13} \times \theta_1, \quad M_{14} = m_{1\theta_1}^{14} \times \theta_1, \quad M_{12} = M_{12} + m_{1\theta_1}^{12} \times \theta_1$$

$$(m_{1\theta_1}^{13} + m_{1\theta_1}^{14} + m_{1\theta_1}^{12}) \times \theta_1 + M_{12} = 0$$

$$(1.60EI + 1.00EI + 2.00EI) \times \theta_1 + 135 = 0 \Leftrightarrow \theta_1 = -29.35/EI \text{ [rad]}$$

v. Düğüm noktalarına komşu çubuk kesitlerindeki üç momentleri

$$M_{13} = m_{1\theta_1}^{13} \times \theta_1 = 1.6 EI \times (-29.35/EI) = -46.96 \text{ kNm}$$

$$M_{14} = m_{1\theta_1}^{14} \times \theta_1 = 1.0 EI \times (-29.35/EI) = -29.35 \text{ kNm}$$

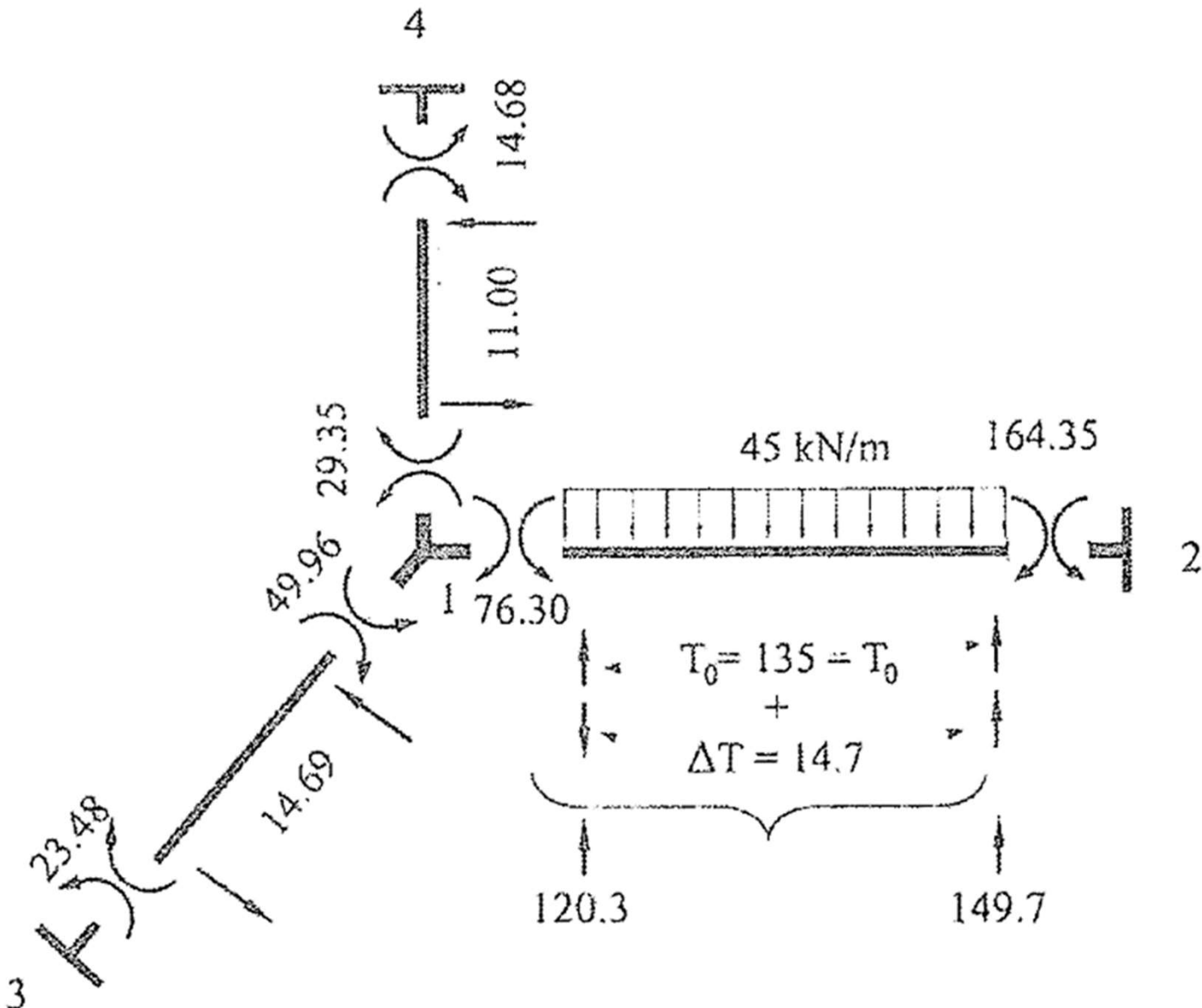
$$M_{12} = M_{12} + m_{1\theta_1}^{12} \times \theta_1 = 135 + 2.0 EI \times (-29.35/EI) = 76.30 \text{ kNm}$$

vi. Karşı uçlardaki momentler – Mesnet momentleri

$$M_{31} = m_{3\theta_1}^{31} \times \theta_1 = 0.8 EI \times (-29.35/EI) = -23.48 \text{ kNm}$$

$$M_{41} = m_{4\theta_1}^{41} \times \theta_1 = 0.5 EI \times (-29.35/EI) = -14.68 \text{ kNm}$$

$$M_{21} = //_{12} + m_{2\theta_1}^{21} \times \theta_1 = -135 + 1.0 EI \times (-29.35/EI) = -164.35 \text{ kNm}$$



viii. Eğilme momenti ve T kesme kuvveti diyagramları

